

УДК 66.096.5

# Процессы термического разложения биомассы и глицерина в виброожиженном слое в присутствии катализаторов глубокого окисления

Ю. В. ДУБИНИН, Н. А. ЯЗЫКОВ, А. Д. СИМОНОВ, В. А. ЯКОВЛЕВ

Институт катализа им. Г. К. Борескова Сибирского отделения РАН,  
проспект Академика Лаврентьева, 5, Новосибирск 630090 (Россия)

E-mail: dubinin@catalysis.ru

(Поступила 20.02.13)

## Аннотация

Исследованы особенности термического разложения (пиролиза, парового риформинга) углеродсодержащего сырья в виброожиженном слое инертного материала и катализаторов глубокого окисления. Показано, что при пиролизе древесины присутствие катализатора обеспечивает более полное превращение конденсируемых органических веществ (смол) в легкие газообразные продукты ( $\text{CO}$ ,  $\text{H}_2$ ,  $\text{CO}_2$ ,  $\text{CH}_4$ ). На примере модельного кислородсодержащего органического субстрата (глицерина) показано, что при паровом риформинге глицерина в псевдоожиженном слое катализаторов глубокого окисления его конверсия осуществляется по нескольким маршрутам, включая газификацию с образованием  $\text{CO}$ ,  $\text{H}_2$ ,  $\text{CO}_2$  и  $\text{CH}_4$ , поликонденсацию продуктов дегидратации глицерина с образованием кокса, паровую газификацию кокса. Аналогичные процессы реализуются при горении биомассы на стадии пиролиза и газификации в кипящем слое. Показано, что эффективные катализаторы в паровом риформинге глицерина проявляют высокую активность в процессе окисления глицерина и биомассы. Исследование процесса каталитического сжигания водных растворов глицерина показало, что степень окисления при использовании различных катализаторов глубокого окисления органических веществ достигает 99.3–99.9 %. Наиболее эффективно процесс окисления протекает в присутствии катализатора ИК-12-73.

**Ключевые слова:** катализатор глубокого окисления, горение твердого топлива, пиролиз, газификация, паровой риформинг, биомасса, глицерин, виброожиженный слой, кипящий слой

## ВВЕДЕНИЕ

Горение твердых топлив (уголь, торф, биомасса, сланцы и др.) – сложный физико-химический процесс, включающий прогрев, пиролиз и газификацию частиц топлива, паровой риформинг и окисление летучих веществ, горение коксового остатка [1, 2]. При горении в псевдоожиженном слое катализатора летучие вещества, выделяющиеся при пиролизе твердых топлив, не воспламеняются, а взаимодействуют с поверхностью катализатора с образованием продуктов глубокого окисления –  $\text{CO}_2$  и  $\text{H}_2\text{O}$  [3]. В состав лету-

чих веществ входят  $\text{CO}$ , водород, метан, предельные и непредельные углеводороды, а также сложные органические соединения. В частности, при быстром пиролизе древесины наряду с твердыми (угольный остаток) и газообразными горючими продуктами ( $\text{CO}$ ,  $\text{H}_2$ ,  $\text{CH}_4$ ) образуются жидкие продукты (смолы), содержащие воду и сложную смесь углеводородов – продукты деструкции лигнокеллюлозы биомассы (фрагменты лигнина, низшие альдегиды, кетоны, кислоты, спирты, фенолы, фурфурол, глицерин) [4]. На поверхности катализатора в зависимости от природы каталитических центров углеводороды

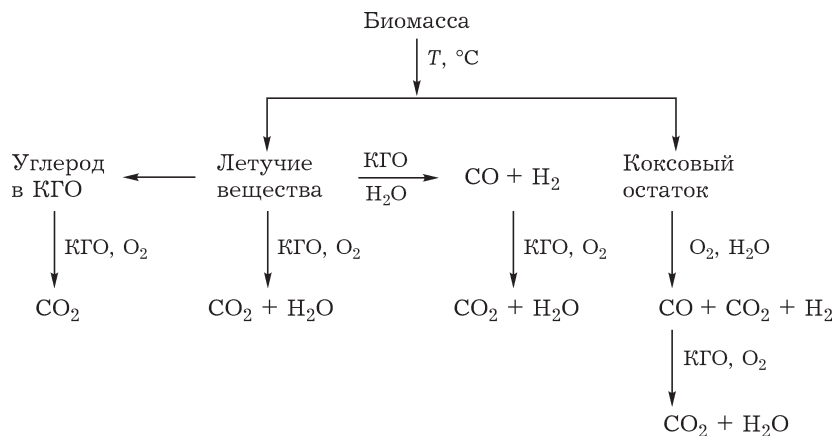


Рис. 1. Маршруты термической конверсии твердой биомассы в присутствии  $O_2$  и катализаторов глубокого окисления.

могут взаимодействовать не только с кислородом, но и с водой, образуя, например, метан, водород и  $CO$  [5]. В общем виде процесс терморазложения и окисления биомассы в присутствии катализаторов глубокого окисления (КГО) представлен на рис. 1.

Таким образом, чтобы детально понять природу процесса горения твердых топлив (биомассы, каменные и бурье угли, торф и т. д.), необходимо рассматривать перечисленные процессы отдельно с использованием либо определенных условий, либо модельных субстратов. Пиролиз углеродсодержащего сырья – одна из основных стадий его горения, поэтому важно исследовать влияние КГО на состав продуктов пиролиза сырья. В качестве модельного сырья использованы опилки сосны, так как древесная лигноцеллюлоза при пиролизе выделяет значительное количество летучих компонентов, следовательно, опосредованное влияние катализаторов на состав летучих продуктов будет заметнее. С другой стороны, представлялось целесообразным изучить процесс парового реформинга кислородсодержащих продуктов пиролиза биомассы в присутствии КГО. В качестве модельного соединения нами выбран глицерин, который отличается высоким содержанием кислорода (сопоставимо с целлюлозой) и склонен к коксообразованию через дегидратацию и ароматизацию.

В то же время глицерин является побочным продуктом производства биодизеля [6, 7] и содержит значительное количество воды и  $NaCl$ , что фактически переводит его в раз-

ряд промышленных отходов. Загрязненный глицерин подвергают биологической переработке с получением целевых продуктов [7] либо используют в качестве топлива [8]. Однако практический опыт факельного сжигания обводненных отходов глицерина показывает, что для стабилизации факела необходимы дополнительные объемы топлива, особенно если глицерин содержит значительное количество воды [8].

В Институте катализа СО РАН (Новосибирск) разработана технология каталитического сжигания топлив, основанная на сочетании четырех принципов: 1) применение КГО; 2) сжигание топлив в псевдоожженном слое катализатора; 3) сжигание смесей топлива и воздуха, близких к стехиометрии; 4) совмещение тепловыделения и теплоотвода в едином слое катализатора [5]. Наличие в реакционной системе катализатора снижает температуру сжигания органического топлива с 1000–1200 до 500–700 °C, при этом сохраняются высокие скорости горения и обеспечивается полное сгорание топливно-воздушных смесей [9, 10]. Применение этой технологии позволяет также эффективно сжигать низкокалорийные твердые отходы, в том числе с высокой влажностью, без введения дополнительного топлива [11].

В настоящей работе с целью стадийного исследования процессов горения твердых топлив предлагается изучить процессы пиролиза и парового реформинга древесины и глицерина в псевдоожженном слое КГО органических веществ.

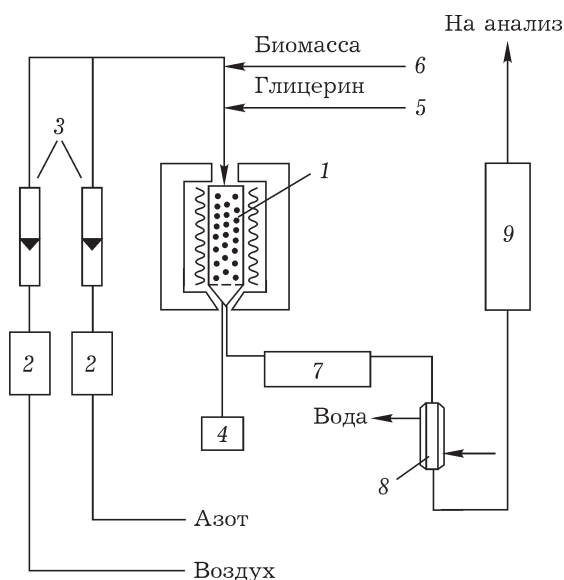


Рис. 2. Лабораторная установка с виброожиженным слоем частиц: 1 – реактор; 2 – блоки дозировки газов; 3 – ротаметры; 4 – вибратор; 5 – линия подачи глицерина; 6 – линия подачи биомассы; 7 – осадительная камера; 8 – холодильник; 9 – осушительная колонка с адсорбентом.

## ЭКСПЕРИМЕНТАЛЬНАЯ ЧАСТЬ

Изучение процесса термического разложения биомассы и глицерина в присутствии катализаторов проводили на лабораторной установке (рис. 2). В реактор с внутренним диаметром 23 мм загружали 30 см<sup>3</sup> катализатора. Виброожиженный слой дисперсной насадки (катализатор или песок) создавали с помощью вибратора, соединенного с реактором. Характеристики вибрации: амплитуда 1 мм, частота 50 Гц. Слой разогревали до рабочей температуры (500–750 °C) с использованием внешнего электронагревателя. При достижении необходимой температуры устанавливали расход азота, равный 4.1 л/ч. Расход гли-

цирина составлял 16.5 г/ч, молярное соотношение вода/глицерин варьировали от 0 до 4.

Для проведения экспериментов с биомассой использовали сосновые опилки с размером частиц <0.5 мм, которые предварительно высушивались при 110 °C в течение 4 ч и выдерживались в экскаторе. Расход опилок составлял 3.4 г/ч.

Анализ газовой смеси на выходе из реактора проводили с использованием хроматографов ЛХМ80. Анализируемые газы: H<sub>2</sub>, O<sub>2</sub>, N<sub>2</sub>, CO, CH<sub>4</sub>, CO<sub>2</sub>.

В работе использовали сферические катализаторы ИК-12-72 (MgCr<sub>2</sub>O<sub>4</sub>/Al<sub>2</sub>O<sub>3</sub>) и ИК-12-73 (Mg<sub>0.5</sub>Cu<sub>0.5</sub>Cr<sub>2</sub>O<sub>4</sub>/Al<sub>2</sub>O<sub>3</sub>) производства АО “Катализатор” (Новосибирск). Катализаторы CuO/Al<sub>2</sub>O<sub>3</sub>, Co<sub>3</sub>O<sub>4</sub>/Al<sub>2</sub>O<sub>3</sub>, NiO + NiCo<sub>2</sub>O<sub>4</sub>/Al<sub>2</sub>O<sub>3</sub> готовили пропиткой водными растворами соответствующих нитратов по влагоемкости носителя с последующей сушкой при 50 °C в течение 4 ч и прокалкой при 700 °C в течение 2 ч. В качестве носителя использовали γ-Al<sub>2</sub>O<sub>3</sub> производства АО “Катализатор” (Новосибирск) со следующими характеристиками: удельная поверхность по БЭТ 200 м<sup>2</sup>/г, размер гранул 2–3 мм, насыпная плотность 0.75 г/см<sup>3</sup>, суммарный объем пор 0.57 см<sup>3</sup>/г. Характеристики катализаторов приведены в табл. 1.

В качестве образца сравнения использовали речной песок с размером частиц 1–1.5 мм.

Количество углерода в катализаторах после термической переработки глицерина определяли по потере массы после прокаливания катализаторов при 800 °C в течение 2 ч.

Процесс каталитического сжигания биомассы (сосновые опилки) и глицерина проводили в виброреакторе. Загрузка катализатора составляла 30 см<sup>3</sup>, расход воздуха – 90 л/ч, расход биомассы – 3.4 г/ч, расход глицерина – 16.5 г/ч.

ТАБЛИЦА 1

Характеристики катализаторов

Катализаторы	Содержание активного компонента, %	Насыпная плотность, г/см <sup>3</sup>	Удельная поверхность по БЭТ, м <sup>2</sup> /г
CuO/Al <sub>2</sub> O <sub>3</sub>	15	0.99	175
Co <sub>3</sub> O <sub>4</sub> /Al <sub>2</sub> O <sub>3</sub>	20	1.10	151
NiO+NiCo <sub>2</sub> O <sub>4</sub> /Al <sub>2</sub> O <sub>3</sub>	20	1.10	147
Mg <sub>0.5</sub> Cu <sub>0.5</sub> Cr <sub>2</sub> O <sub>4</sub> /Al <sub>2</sub> O <sub>3</sub>	23	1.02	180
MgCr <sub>2</sub> O <sub>4</sub> /Al <sub>2</sub> O <sub>3</sub>	23	1.03	180

Степень окисления биомассы или глицерина ( $\beta$ ) при каталитическом сжигании определяли по изменению концентрации  $\text{CO}_2$  в отходящих газах по формуле:

$$\beta = [\text{CO}_2]_p / [\text{CO}]_0$$

где  $[\text{CO}_2]_p$  – концентрация  $\text{CO}_2$  на выходе из реактора;  $[\text{CO}]_0$  – расчетное значение концентрации  $\text{CO}_2$  при полном окислении биомассы или глицерина.

Удельная поверхность определялась на основе данных изотерм низкотемпературной адсорбции азота, полученных на установке ASAP-2400 фирмы Micromeritics.

## РЕЗУЛЬТАТЫ И ОБСУЖДЕНИЕ

На рис. 3 приведен состав продуктов термической бескислородной деструкции сухих сосновых опилок в виброожженном слое КГО (ИК-12-72 и ИК-12-73) и инертного материала (речной песок) в зависимости от температуры.

Как для катализаторов, так и для инертного материала с ростом температуры количество образующегося коксового остатка и конденсирующихся соединений (углеводороды и вода) уменьшается, а количество  $\text{CO}_2$ ,  $\text{CO}$ ,  $\text{H}_2$ ,  $\text{CH}_4$  возрастает. Данная температурная зависимость характерна для процесса пиролиза лигноцеллюлозы: летучие компоненты, адсорбируясь на поверхности песка и катализатора, подвергаются дальнейшему терморазложению с образованием легких неконденсируемых газообразных соединений и твердых углеродных отложений. С ростом тем-

пературы процесс терморазложения интенсифицируется, на что и указывает увеличение выхода  $\text{CO}_2$ ,  $\text{CO}$ ,  $\text{H}_2$ ,  $\text{CH}_4$ . Количество углеродных отложений на поверхности песка или катализатора слабо зависит от температуры процесса и природы материала (см. рис. 3). Это может быть связано с тем, что разложение идет на поверхности частицы катализатора или песка с блокировкой пор носителя, либо образующийся на поверхности катализатора углерод может обтиратся, за счет чего увеличивается количество коксового остатка, не связанного с катализатором. Возможно, наблюдаемый эффект обусловлен совокупностью обоих процессов.

По-видимому, выделение дополнительного количества неконденсирующихся газов при пиролизе древесины в присутствии катализаторов связано с каталитическим разложением углеводородов конденсата в присутствии паров воды. Влияние содержания воды на количество и состав образующихся газов при термическом разложении углеводородов конденсированной фазы в присутствии катализаторов определялось на примере глицерина.

На рис. 4 приведены данные по изменению состава сухих газов, образующихся при термическом разложении глицерина, и выходу неконденсируемых газов в зависимости от температуры в слое катализатора ИК-12-73. Максимальный выход неконденсируемых газов наблюдается в интервале температур 700–750 °C. При этом с повышением температуры от 600 до 750 °C объемное содержание

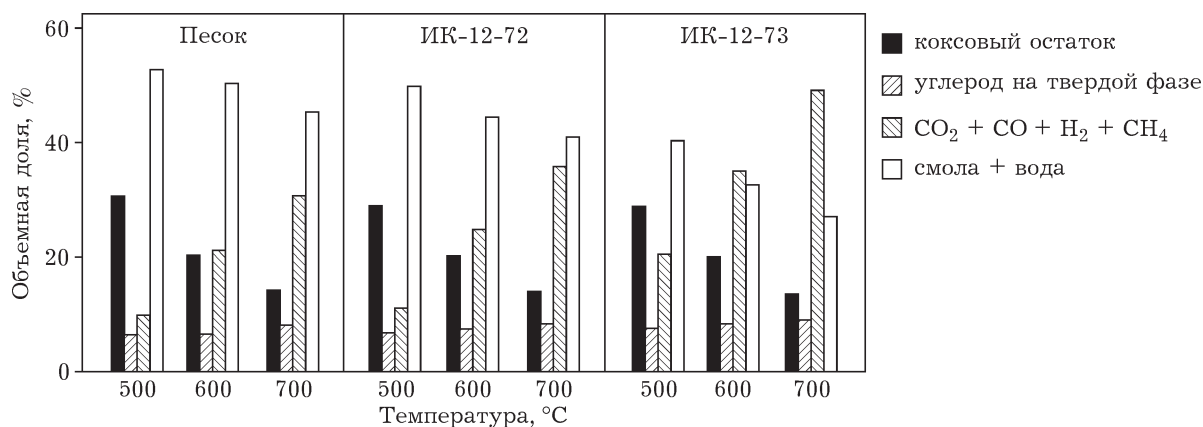


Рис. 3. Состав продуктов пиролиза сосновых опилок в виброожженном слое катализаторов глубокого окисления (ИК-12-72 и ИК-12-73) и инертного материала (песок) в зависимости от температуры.

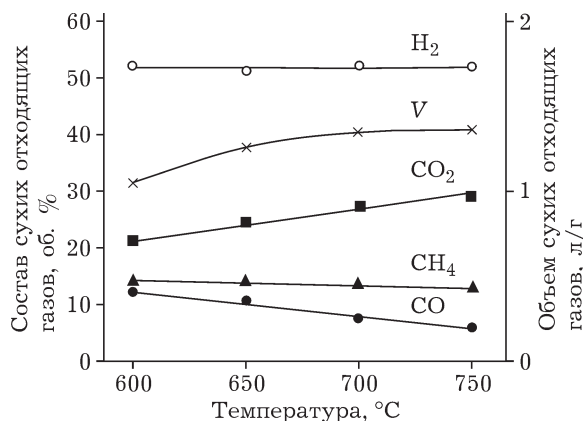


Рис. 4. Зависимость состава сухих газов в процессе термической деструкции глицерина (молярное соотношение глицерин/вода = 1 : 4) и объема образующихся газов (V) из 1 г глицерина от температуры процесса в присутствии катализатора ИК-12-73.

водорода практически не изменяется, но постепенно увеличивается содержание CO<sub>2</sub> и уменьшается содержание CH<sub>4</sub> и CO. Это может быть связано с увеличением вклада реакций парового риформинга CH<sub>4</sub> и CO. Из материального баланса по углероду и данных по содержанию углерода в катализаторе следует, что термическое разложение глицерина происходит с образованием неконденсируемых газов и углерода на катализаторе.

С ростом молярного соотношения вода/глицерин от 0 до 1 объем образующихся при разложении глицерина неконденсирующихся газов возрастает (рис. 5). При этом в составе газов

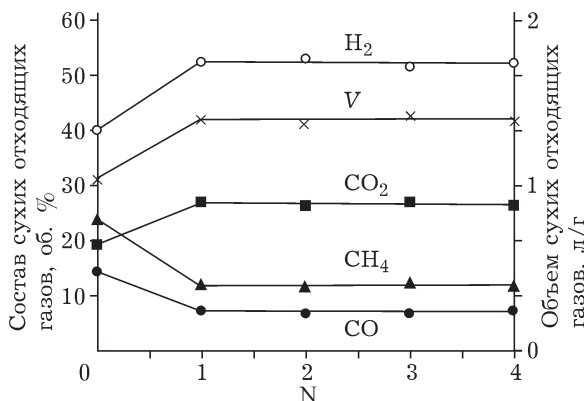


Рис. 5. Зависимость состава и объема (V) сухих отходящих газов в процессе термической деструкции 1 г глицерина от молярного соотношения вода/глицерин (N) при температуре процесса 700 °C в присутствии катализатора ИК-12-73.

повышается содержание CO<sub>2</sub> и H<sub>2</sub>, а содержание CO и CH<sub>4</sub> уменьшается. Очевидно, что добавление воды способствует более полному паровому риформингу таких продуктов терморазложения глицерина, как CO и CH<sub>4</sub>. Известно, что хромит меди проявляет высокую активность в отношении конверсии CO водяным паром [5]. При этом с уменьшением содержания меди в составе катализатора активность его в отношении конверсии CO уменьшается [12].

Согласно данным [13], весь процесс катализитического парового риформинга глицерина при температуре 500–700 °C можно описать следующим набором реакций:

1) паровой риформинг глицерина:  
 $C_3H_8O_3 \rightarrow 3CO + 4H_2$

2) реакция парогазового сдвига:  
 $CO + H_2O \rightarrow CO_2 + H_2$

3) реакция метанования:  
 $CO + 3H_2 \rightarrow CH_4 + H_2O$

Кроме того, при высоких температурах может протекать реакция паровой конверсии метана [14]:  
 $CH_4 + H_2O \rightarrow CO + H_2$

Образование метана при температурах 500–700 °C наблюдается для всех рассматриваемых в литературе нанесенных катализаторов [15–17]. Исследования показали, что наиболее эффективные катализаторы риформинга CO с наибольшим образованием CO при максимальной конверсии глицерина и минимальном образовании метана – катализаторы на основе Rh и Ni на Al<sub>2</sub>O<sub>3</sub> [17]. Таким образом, согласно данным [15–17], образование метана имеет исключительно катализическую природу, поскольку гидрирование CO при температурах 500–700 °C в газовой фазе невозможно. Тем не менее, в эксперименте по паровой конверсии глицерина в виброожженном слое инертного материала – песка (табл. 2) – установлено образование значительных количеств CH<sub>4</sub> при 700 °C.

В табл. 2 приведены данные по объему и составу газов, образующихся при термической деструкции глицерина при 700 °C в присутствии паров воды с использованием ряда КГО и инертного материала. Появление CH<sub>4</sub> в эксперименте с песком указывает на существование дополнительного маршрута образования метана путем прямого крекинга глицерина.

ТАБЛИЦА 2

Влияние состава катализатора на выход продуктов термической деструкции глицерина при 700 °С (загрузка катализатора 30 см<sup>3</sup>, расход глицерина 16.5 г/ч, молярное соотношение глицерин/вода = 1 : 4)

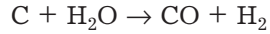
Катализаторы	Расход глицерина, г/ч	Концентрация, об. %				$V_g^*$ , л/г глицерина
		CO <sub>2</sub>	H <sub>2</sub>	CO	CH <sub>4</sub>	
NiO + NiCo <sub>2</sub> O <sub>4</sub> /Al <sub>2</sub> O <sub>3</sub>	16.5	22.5	57.3	16.0	4.1	1.57
NiO + NiCo <sub>2</sub> O <sub>4</sub> /Al <sub>2</sub> O <sub>3</sub>	31.0	16.8	63.1	18.4	1.6	3.0
Co <sub>3</sub> O <sub>4</sub> /Al <sub>2</sub> O <sub>3</sub>	16.5	21.6	57.0	15.1	6.3	1.54
CuO/Al <sub>2</sub> O <sub>3</sub>	16.5	21.7	53.1	15.9	9.3	1.29
ИК-12-72	16.5	25.5	49.3	10.4	14.8	1.21
ИК-12-73	16.5	26.9	52.6	7.6	12.9	1.36
Песок	16.5	17.2	48.8	25.1	8.9	0.91

\*Суммарный объем газообразных продуктов, образующихся из 1 г глицерина (при нормальных условиях).

В присутствии всех исследованных КГО выход неконденсируемых газов (CO<sub>2</sub>, H<sub>2</sub>, CO, CH<sub>4</sub>) по сравнению с инертным песком увеличивается, что указывает на вклад парового реформинга и крекинга, происходящих на поверхности катализатора. Для катализатора ИК-12-73 (смешанный хромит меди и магния на оксиде алюминия) установлен минимальный выход CO и максимальный выход CO<sub>2</sub> (см. табл. 2). Учитывая, что данные катализаторы применяются с целью обеспечить полное окисление топлива до CO<sub>2</sub> и H<sub>2</sub>O, низкое содержание CO в случае катализатора ИК-12-73 играет положительную роль.

Как следует из данных табл. 2, увеличение скорости подачи глицерина почти вдвое в эксперименте с катализатором NiO + NiCo<sub>2</sub>O<sub>4</sub>/Al<sub>2</sub>O<sub>3</sub> привело к резкому уменьшению относительного содержания CH<sub>4</sub> в составе продуктов паровой конверсии глицерина. Уменьшение соотношений катализатор/гли-

цирин и H<sub>2</sub>O/глицерин, по-видимому, приводит к дополнительному коксованию глицерина без образования метана. Это, в свою очередь, позволяет увеличить содержание CO и H<sub>2</sub> за счет реакции



Действительно, наряду с разложением глицерина на поверхности катализатора происходят процессы поликонденсации продуктов каталитической дегидратации глицерина с образованием кокса [18, 19]. Нами определено распределение углерода в неконденсируемых продуктах, в катализаторе и в конденсируемой смолистой фазе (табл. 3). В случае NiO + NiCo<sub>2</sub>O<sub>4</sub>/Al<sub>2</sub>O<sub>3</sub>, ИК-12-73 и Co<sub>3</sub>O<sub>4</sub>/Al<sub>2</sub>O<sub>3</sub> термическое разложение происходит в основном до неконденсируемых газов и углерода. В случае применения инертного песка наблюдается образование смолистого конденсата в значительном количестве по сравнению с экспериментами с КГО. Следует также отметить

ТАБЛИЦА 3

Баланс по углероду при термической деструкции глицерина при 700 °С в присутствии паров воды для различных катализаторов

Катализаторы	Содержание углерода, %		
	в твердой фазе	в газах	в органической конденсируемой фазе
NiO + NiCo <sub>2</sub> O <sub>4</sub> /Al <sub>2</sub> O <sub>3</sub>	16.2	83.8	0
Co <sub>3</sub> O <sub>4</sub> /Al <sub>2</sub> O <sub>3</sub>	16.8	83.1	0.1
CuO/Al <sub>2</sub> O <sub>3</sub>	19.4	74.4	6.2
ИК-12-72	15.1	77.0	7.9
ИК-12-73	18.9	81.1	0
Песок	14.1	58.6	27.3

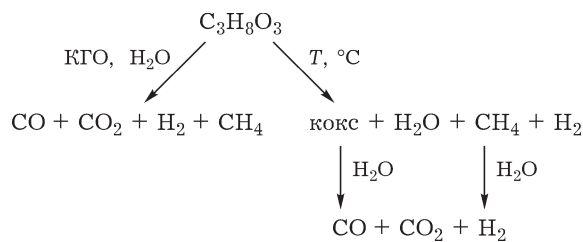


Рис. 6. Маршруты термического разложения глицерина в присутствии КГО.

относительно невысокую долю образовавшегося углерода в твердой фазе по сравнению с нанесенными катализаторами на  $\gamma\text{-Al}_2\text{O}_3$ . Это объясняется, по-видимому, инертной поверхностью песка, в то время как  $\gamma\text{-Al}_2\text{O}_3$  имеет кислые гидроксидные группы, которые служат центрами коксообразования.

Таким образом, каталитическое разложение глицерина в присутствии паров воды проходит по последовательно-параллельной схеме: образование  $\text{CO}$ ,  $\text{H}_2$ ,  $\text{CO}_2$  и  $\text{CH}_4$  сопровождается поликонденсацией продуктов дегидратации глицерина и образованием кокса, а также паровой газификацией кокса и паровым риформингом  $\text{CO}$  и  $\text{CH}_4$  (рис. 6).

Предлагаемая схема в целом схожа со схемой терморазложения и окисления биомассы (см. рис. 1). На катализаторах, содержащих медь, существенны процессы коксования и конверсии  $\text{CO}$ . На никель-кобальтовом катализаторе процесс коксования и конверсии  $\text{CO}$  протекает в меньшей степени, а также существенно уменьшается содержание  $\text{CH}_4$ . Благодаря этому можно рекомендовать для утилизации глицерина газификацией водяным паром с образованием преимущественно  $\text{H}_2$  и  $\text{CO}$ . Исследование процесса каталитического сжигания смеси глицерина и воды в виброожиженнном слое используемых в работе КГО органических веществ показало, что степень окисления глицерина до  $\text{CO}_2$  и  $\text{H}_2\text{O}$  составляет 99.3–99.9 % при изменении соотношения вода/глицерин от 0 до 4 и температуре 700 °C. С учетом того, что теплотворная способность составляет 4324 ккал/кг [20], водные растворы отходов глицерина с содержанием глицерина до 25 % можно сжигать в псевдоожиженнном слое катализатора в автотермическом режиме с утилизацией теплоты в виде горячей воды или пара.

## ЗАКЛЮЧЕНИЕ

При исследовании парового риформинга глицерина в псевдоожиженнном слое катализаторов глубокого окисления установлено, что конверсия глицерина осуществляется по нескольким маршрутам, включая газификацию с образованием  $\text{CO}$ ,  $\text{H}_2$ ,  $\text{CO}_2$  и  $\text{CH}_4$ , поликонденсацию продуктов дегидратации глицерина с образованием кокса, паровую газификацию кокса. Аналогичные процессы реализуются при горении биомассы на стадии пиролиза и газификации в кипящем слое. Показано, что эффективные катализаторы в паровом риформинге глицерина проявляют высокую активность в процессе окисления глицерина и биомассы. Исследование процесса каталитического сжигания водных растворов глицерина показало, что степень окисления при использовании различных катализаторов глубокого окисления органических веществ достигает 99.3–99.9 %. Наиболее эффективно процесс окисления осуществляется в присутствии катализатора ИК-12-73.

Работа выполнена в соответствии с госконтрактом Минобрнауки РФ № 16.526.12.6012.

## СПИСОК ЛИТЕРАТУРЫ

- 1 Канторович Б. В. Основы теории горения и газификации твердого топлива. М.: Изд-во АН СССР, 1958. 600 с.
- 2 Резников А. В., Басина И. П., Бухман С. В., Вдовенко М. И., Устименко Б. П. Горение натурального твердого топлива. Алма-Ата: Наука, 1968. 410 с.
- 3 Simonov A. D., Mishchenko T. I., Yazykov N. A., Parmon V. N. // Химия уст. разв. 2003. Т. 11, № 1. С. 277–284.
- 4 Bridgwater A. V. // J. Anal. Appl. Pyrolysis. 1999. Vol. 51. P. 3–22.
- 5 Боресков Г. К. Гетерогенный катализ. М.: Наука, 1986. 300 с.
- 6 Яковлев В. А., Хромова С. А., Бухтияров В. И. // Усп. химии. 2011. Т. 10, № 80. С. 955–970.
- 7 Дирина Е. Н., Винаров А. Ю., Быков В. А. // Сельскохоз. биология. 2008. № 3. С. 24–32.
- 8 Лозицкий Д. Н., Соколов Б. А. // Энергослужба предприятия. 2008. Т. 32, № 2. С. 38–41.
- 9 Симонов А. Д., Языков Н. А., Ведякин П.И., Лавров Г. А., Пармон В. Н. // Химия уст разв. 2001. Т. 9, № 1. С. 97–104.
- 10 Симонов А. Д., Федоров И. А., Дубинин Ю. В., Языков Н. А., Яковлев В. А., Пармон В. Н. // Катализ в промсти. 2012. № 3. С. 50–57.
- 11 Симонов А. Д., Языков Н. А., Трачук А. В., Яковлев В. А. // Альтернативная энергетика и экология. 2010. Т. 86, № 6. С. 61–66.
- 12 Давыдов А. А., Боресков Г. К., Юрьева Т. М., Рубене Н. А. // Докл. АН СССР. 1977. Т. 236, № 6. С. 1402–1405.
- 13 Hirai T., Ikenaga N. O., Miyake T., Suzuki T. // Energy Fuels. 2005. Vol. 19. P. 1761–1762.

- 14 Zhang B., Tang X., Cai W., Xu Y., Shen W. // Catal. Commun. 2006. Vol. 7. P. 367–372.
- 15 Luo N., Fua X., Cao F., Xiao T., Edwards P. P. // Fuel. 2008. Vol. 87, Issue. 17–18. P. 3483–3489.
- 16 Chen G., Zhao L. // Int. J. Hydrogen Energy. 2012. Vol. 37, Issue. 1. P. 765–773.
- 17 Adhikari S., Fernando S., Haryanto A. // Catal. Today. 2007. Vol. 129, Issue 3–4. P. 355–364.
- 18 Стегнер Г., Баландин А. А., Руденко А. П. // Изв. АН СССР. ОХН. 1960. № 1. С. 24–30.
- 19 Буянов Р. А. Закоксовывание катализаторов. Новосибирск: Наука, 1983. 334 с.
- 20 Краткий справочник физико-химических величин / Под ред. К. П. Мищенко, А. А. Равделя. Л.: Химия, 1967. С. 49.